

УДК 621.372.8

© 1990

ЗАТУХАНИЕ ПЭВ ( $\nu=103 \text{ см}^{-1}$ )  
И «МЯГКИЕ МОДЫ» В ПЛЕНКАХ  $\text{Ba}_x\text{Sr}_{1-x}\text{TiO}_3$

*B. Вайчикаускас, Г. Н. Жижин, В. А. Яковлев*

Исследованы температурные зависимости затухания поверхностных электромагнитных волн (ПЭВ) дальнего ИК диапазона ( $\nu=103 \text{ см}^{-1}$ ) на пленках твердых растворов  $\text{Ba}_x\text{Sr}_{1-x}\text{TiO}_3$  ( $x=0.9$  и  $1.0$ ). В точке фазового перехода обнаружен минимум, положение которого менялось от состава пленки. Результаты объясняются температурной зависимостью частоты и затухания «мягкой моды» (ММ). Установлено, что в материалах с сильно разнесенными частотами  $TO$ - и  $LO$ -фононов константа затухания ПЭВ практически не зависит от частоты ММ, а обусловлена ее затуханием.

Титанат бария является одним из наиболее широко изученных сегнетоэлектриков.  $\text{BaTiO}_3$  выше температуры  $120^\circ\text{C}$  имеет кубическую структуру, а ниже — тетрагональную. Ряд важных свойств кристаллов связан с так называемыми мягкими модами (ММ) [1]. Для изучения ММ привлекались почти все методы исследования динамики кристаллической решетки, в том числе инфракрасная [2–7], КР [8–10], гиперкомбинационная [11] и поляритонная [12, 13] спектроскопия. Однако из-за неудобного расположения ММ в спектре и одновременно чрезвычайно большой ее интенсивности и ширины ее изучение осложнено. Положение еще более осложняется в случае тонких пленок. ПЭВ к исследованию свойств плечевых сегнетоэлектриков не привлекалось.

Эксперименты проводились с поликристаллическими пленками  $\text{Ba}_x\text{Sr}_{1-x}\text{TiO}_3$  ( $x=0.9$  и  $1.0$ ), приготовленными методом реактивного катодного распыления на подложках из плавленого кварца размерами  $20 \times 10 \times 2$  мм. Предварительно на подложки наносилась пленка платины ( $d=50 \text{ нм}$ ), толщина которой определялась по времени и скорости распыления. Толщина пленок  $\text{Ba}_x\text{Sr}_{1-x}\text{TiO}_3$  определялась на микроинтерферометре МИИ-10 (точность  $\sim 300 \text{ \AA}$ ) и составляла  $1500$  и  $4000 \text{ \AA}$ . Микроструктуру конденсаторов исследовали в электронных микроскопах JEM-100CX и JSM-2 в режиме вторичных электронов (увеличение  $100$ – $4000$ , разрешение до  $5 \text{ нм}$ ) и в просвечивающем режиме электронного микроскопа JEM-100CX совместно с Институтом химической физики АН СССР.

В зависимости от толщины пленки и температурного режима распыления получались пленки разной зернистости (рис. 1). Пленки толщиной  $4000 \text{ \AA}$  распылялись при нагреве подложки до  $800^\circ\text{C}$ , а пленки толщиной  $1500 \text{ \AA}$  — почти без нагрева. Размер зерна в этом случае не превышал  $1 \text{ мкм}$ .

Температура фазового перехода данных пленок зависит от состава  $x$  и при  $x=0.3$  достигает  $300 \text{ K}$  [14]. О присутствии ФП тех же пленок свидетельствует исследование температурной зависимости вторично-электронной эмиссии [15]. Максимум тока вторичных электронов свидетельствовал о ФП, который являлся сильно размытым.

ПЭВ эксперименты проводились на частоте  $\nu=103 \text{ см}^{-1}$  в интервале температур  $300$ – $540 \text{ K}$ . Возбуждение ПЭВ осуществлялось апертурным методом, а обратное преобразование ПЭВ в объемную волну — призмой НПВО, изготовленной из кремния.

Температурная зависимость длины пробега ПЭВ  $L$  для пленок с  $x=0.9$  представлена на рис. 2. При  $T=300$  К наблюдается широкий минимум, который совпадает с температурой ФП из тетрагональной фазы в кубическую. Затухание ПЭВ  $\alpha$  ( $\alpha=1/L$ ) в минимуме возрастает почти в полтора раза. Для пленок с  $x=1$  также наблюдается минимум в зависимости  $L(T)$ , только при более высокой температуре (410 К). Это согласуется с результатами работы [14], где наблюдалось уменьшение температуры ФП с результатами работы [14], где наблюдалось уменьшение температуры ФП

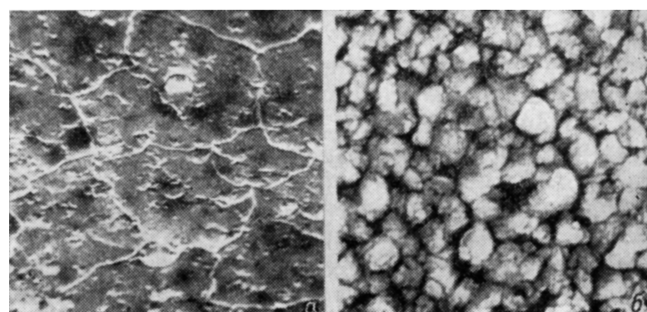


Рис. 1. Микрофотографии пленок  $\text{Ba}_{0.9}\text{Sr}_{0.1}\text{TiO}_3$ .

*a* — пленки распылялись при нагреве подложки до 1100 К,  $d=4000 \text{ \AA}$ ; *b* — без нагрева подложки  $d=1500 \text{ \AA}$  ( $\times 10\,000$ ).

при увеличении концентрации стронция. Надо отметить, что во всем температурном интервале значения  $L$  для пленок  $\text{BaTiO}_3$ , выше, чем в пленках твердого раствора. По-видимому, это связано с увеличением рассеяния ПЭВ на дефектах, концентрация которых увеличивается пропорционально  $1-x$  [14].

Для пленок обоих типов толщиной 1500 Å наблюдалось увеличение  $L$  более чем в два раза по сравнению с пленками  $d=4000 \text{ \AA}$ . Это в первую

очередь связано с особенностями локализации поля ПЭВ. Расчеты глубины проникновения поля ПЭВ для тетрагонального  $\text{BaTiO}_3$  (300 К) с использованием параметров осцилляторов из [2] показывают, что она больше толщины пленок. Это значит, что «хвост» этого поля будет чувствовать и подложку — металлическую пленку, по поверхности которой ПЭВ распространяется со значительно меньшим затуханием. Используя оптические константы Pt, из [16] получаем значение длины пробега ПЭВ на границе Pt—воздух  $L_{Pt}=46.3$  см. Это на два порядка больше, чем для гра-

Рис. 2. Температурные зависимости длины пробега ПЭВ  $L$  ( $x=0.9$ ,  $d=4000 \text{ \AA}$ ).

ници раздела  $\text{BaTiO}_3$ —воздух. Таким образом, присутствие более толстых пленок сегнетоэлектрика приводит к большему затуханию ПЭВ. Правильность такого рассуждения доказывают измерения  $L$  для пленок, которые наносились прямо на подложку из плавленого кварца или  $\text{MgO}$ . В этом случае  $L$  из-за сильного затухания в подложке резко уменьшалось. Кроме того, расчетные значения  $L$  (3.05 см) значительно превышают экспериментальные. Причины этого могут быть следующие. Оказалось, что длина пробега ПЭВ для исследуемой системы очень чувствительна к толщине и проводимости платины. Путем подгонки плазменной частоты  $\nu_p$  и частоты соударений электронов  $\nu_T$  пленки Pt ( $\nu_p=35\,000$ ,  $\nu_T=1400 \text{ cm}^{-1}$ ) достигается согласие расчетов с экспериментом при 300 К. Объемные кристаллы Pt обладают более высокой проводимостью  $\sigma=\nu_p^2/4\pi\nu_T$  ( $\nu_p=41\,500$ ,

$\nu_T = 558 \text{ см}^{-1}$  [16]. Это вполне может соответствовать реальности, так как рассеяние электронов в пленках обычно сильнее, чем в кристаллах. Кроме того, поскольку поликристаллическим пленкам обычно характерна оптическая неоднородность, связанная с хаотическим распределением доменов, это также может привести к дополнительным излучательным потерям ПЭВ.

Чтобы рассчитать ход зависимости  $L(T)$ , необходимо знать температурную зависимость частот и затуханий осцилляторов  $\text{BaTiO}_3$  как в тетрагональной, так и в кубической фазах. Однако таких данных о пленочных  $\text{Ba}_x\text{Sr}_{1-x}\text{TiO}_3$  неизвестно. Температурная зависимость дисперсии диэлектрической проницаемости может быть выражена формулой

$$\epsilon^*(\nu, T) = \epsilon_\infty + \prod_j^2 \frac{S_j(T) \nu_{TOj}^2(T)}{\nu_{TOj}^2 - \nu^2 - i\nu^2 \Gamma_{TOj}(T)}, \quad (1)$$

где  $\nu_{TOj}$ ,  $\Gamma_{TOj}$ ,  $S_j$  — частоты, затухания и силы осцилляторов;  $\epsilon_\infty$  — высокочастотная диэлектрическая проницаемость;  $j=1 \div 3$ . Так как высокочастотные моды с индексами «2», «3» не чувствительны к температуре, то  $\epsilon^*(\nu, T)$  обусловлено только мягкой модой  $\nu_{TO1}$ . Поэтому (1) можно переписать в следующем виде:

$$\epsilon^*(\nu, T) = \epsilon_\infty + \left( \prod_2^3 \frac{S_{2, 3} \nu_{TO2, 3}^2}{\nu_{TO2, 3}^2 - \nu^2 - i\nu \Gamma_{TO2, 3}} \right) \frac{S_1(T) \nu_{TO1}^2(T)}{\nu_{TO1}^2(T) - \nu^2 - i\nu \Gamma_{TO1}(T)}. \quad (2)$$

В кубической фазе ММ типа  $F_{1n}$  не активны в КР спектрах, а экспериментальные исследования кристаллов  $\text{BaTiO}_3$  противоречивы [4, 6, 7, 11]. Согласно [4, 6], изменение частоты ММ подчиняется классическому закону  $\nu_{TO1}^2 \sim (T - T_c)$  и ее частота понижается до очень низких значений ( $2 \div 20 \text{ см}^{-1}$ ). В более поздней работе [7] утверждается, что за 100 К до перехода ММ стабилизируется в спектре на частоте  $60 \text{ см}^{-1}$ . Данные гиперкомбинационного рассеяния [11] также оказались в противоречии с результатами ИК измерений [6]. Используя результаты разных исследователей [6-10, 12, 13], мы рассчитали значения диэлектрической проницаемости и показателя преломления ПЭВ (см. таблицу). Хотя разброс значений  $L$  сравнительно велик, однако для большинства работ наблюдается тенденция уменьшения  $L$  с температурой при  $T < T_c$ , а также и при  $T >$

Температурная зависимость диэлектрической проницаемости, длины пробега ПЭВ

$L$  и действительной части показателя преломления ( $n'_{\text{эфф}} - 1$ ) в  $\text{BaTiO}_3$ , рассчитанные при использовании литературных данных о частоте  $\nu_{TO1}$  и затухании

$\Gamma_{TO1}$  «мягкой моды» ( $\nu = 103 \text{ см}^{-1}$ )

$T, \text{ }^\circ\text{C}$	$\nu_{TO1}, \text{ см}^{-1}$	$\Gamma_{TO1}, \text{ см}^{-1}$	$-\epsilon'$	$\epsilon''$	$L, \text{ мм}$	$(n'_{\text{эфф}} - 1)$	Метод
20	35	87.5 [12]	112	113	3.43	2.21	Поляритоны
20	38	115 [13]	81	111	2.61	2.14	»
22	34	85 [2, 6]	115	111	3.53	2.24	ИК
22	38	108 [8]	86	111	2.63	2.24	
30	39	94 [9]	103	116	3.20	2.15	
30	36	88 [10]	111	113	3.41	2.20	
60	45	125 [8]	70	113	2.41	1.98	
60	50	140 [9]	57	110	2.16	1.83	
60	41.8	92 [10]	106	118	3.27	2.09	
115	52	156 [8]	47	106	1.94	1.75	
115	45	88 [10]	111	122	3.42	2.03	
127	19.5	167 [8]	76	100	2.42	2.35	ИК
135	10.9	87.2 [11]	111	99	2.43	2.56	ГКР
135	60	125 [7]	65	132	2.52	1.49	
180	60	125 [7]	65	132	2.52	1.49	
177	27.5	110 [11]	87	106	2.73	2.31	ГКР
200	42	168 [6]	44.5	96	1.79	1.96	ИК

$> T_c$  [6, 11]. Эффективный показатель преломления ПЭВ  $n_{\text{эф}}^*$  обусловлен диэлектрическими проницаемостями граничащих сред. Для границы раздела кристалла  $|\epsilon^*| \gg 1$  с воздухом ( $\epsilon = 1$ ) показатель преломления ПЭВ, учитывая (1), выражается в следующем виде [17]:

$$n_{\text{эф}}^* = \sqrt{\frac{\epsilon^*}{\epsilon^* + 1}} \approx 1 - \frac{1}{2\epsilon^*} = 1 - \prod_j^2 \frac{\nu_{TO}^2 - \nu^2 - i\Gamma_{TOj}\nu}{2(\nu_{LOj}^2 - \nu_{TOj}^2)\epsilon_\infty}. \quad (3)$$

Длина пробега ПЭВ  $L$  определяется мнимой частью показателя преломления ПЭВ  $n''_{\text{эф}} (L = 4\pi n''_{\text{эф}})$ , поэтому из (3) нетрудно получить выражение для длины пробега фонон-поляритона

$$L = \prod_j^2 \frac{(\nu_{LOj}^2 - \nu_{TOj}^2)\epsilon_\infty}{2\pi\nu^2\Gamma_{TOj}}. \quad (4)$$

Надо отметить, что ПЭВ (моды Фано) существуют в области спектра между частотами поперечных и продольных фононов ( $\nu_{TO} < \nu < \nu_{LO}$ ).

В материалах с широкой областью «остаточных лучей», как BaTiO<sub>3</sub>, при  $T < T_c (\nu_{LO}^2 \gg \nu_{TO}^2)$ ,  $L(T)$  практически не зависит от частоты ММ, а обусловлена температурным ходом  $\Gamma_{TO1}$ . При высоких температурах  $\nu_{TO1}$  повышается,  $L(T)$  описывает выражение (4).

Поведение зависимости  $L(T)$  позволяет сделать вывод, что в точке ФП затухание моды  $F_{1u}$  в пленках терпит максимум; при этом расчеты указывают на сильно передемптированный ее характер ( $\Gamma_{TO1}, \nu_{TO1} \approx 8$ ), что согласуется с данными работ [6, 11] на объемных кристаллах. В кубической фазе при повышении температуры затухание этой моды начинает уменьшаться, что отражается в незначительном увеличении длины пробега ПЭВ (рис. 2). При высоких температурах она становится недодемпированной [11]. Согласно [7], температурная зависимость  $\Gamma_{TO1}$  выше температуры Дебая носит линейный характер

$$\Gamma_{TO}(T) = \Gamma(0)[n(\Omega(T))/2 + 1/2], \quad (5)$$

где

$$n = n(\omega) = [\exp(\hbar\omega/kT) - 1]^{-1}. \quad (6)$$

Она хорошо описывает экспериментальные данные для объемных кристаллов, за исключением области вблизи  $T_c$ , где наблюдается уменьшение затухания с температурой [7]. Такое аномальное поведение затухания ММ объясняется максимальной плотностью низкочастотных колебаний при  $T_c$ , приводящих к увеличению члена  $kT/\hbar\omega$  в (6). Для объяснения этого предлагаются несколько механизмов: флуктуация фононов и (или) доменов, центральные пики, туннельные моды, резонансная релаксация примесей [18].

Для сред, состоящих из нескольких компонентов, каким является твердый раствор Ba<sub>x</sub>Sr<sub>1-x</sub>TiO<sub>3</sub>, для расчета  $\epsilon^*$  применяется модель эффективной среды [19]. В случае двух сред 1 и 2, одна из которых составляет часть  $c$ , а другая  $1-c$ , эффективная диэлектрическая проницаемость выражается в следующем виде:

$$c \frac{\epsilon_1^* - \epsilon_{\text{эф}}^*}{\epsilon_1^* + 2\epsilon_{\text{эф}}^*} + (1-c) \frac{\epsilon_2^* - \epsilon_{\text{эф}}^*}{\epsilon_2^* + 2\epsilon_{\text{эф}}^*}. \quad (7)$$

Формула (7) выражает связь между эффективной диэлектрической проницаемостью среды  $\epsilon_{\text{эф}}^*$ , которая устанавливается экспериментально с помощью ПЭВ, и аддитивным вкладом каждой составляющей системы в  $\epsilon_{\text{эф}}^*$ . Один из способов нахождения  $\epsilon_1^*$  и  $\epsilon_2^*$  — это измерение затухания ПЭВ при составе пленок  $x=0$  и 1. В случае твердого раствора с различным температурным поведением отдельных составляющих, каким является Ba<sub>x</sub>Sr<sub>1-x</sub>TiO<sub>3</sub>, их диэлектрические проницаемости  $\epsilon_1^*$  и  $\epsilon_2^*$  получаются путем варьирования на ЭВМ до наилучшего совпадения с эксперименталь-

ной кривой  $L(T)$ . При этом состав пленки измеряется независимым методом. Так как на исследуемой частоте длина пробега ПЭВ обусловлена ММ, то достаточно варьировать только ее параметры, другие осцилляторы считая температурно-независимыми [2]. Однако экспериментально при  $x = 0.9$ , кроме сдвига температуры ФП и уширения минимума, в зависимости  $L(T)$  других особенностей не наблюдалось.

Как видно из рис. 2 и таблицы, изменение  $L$  с температурой для системы  $\text{SiO}_2 - \text{Pt} - \text{Ba}_x\text{Sr}_{1-x}\text{TiO}_3$  ( $T < T_c$ ) происходит быстрей, чем на объемных кристаллах. При объяснении этого надо иметь в виду, что ПЭВ является пограничной модой и ее параметры зависят от оптических констант обеих граничащих сред. Так как затухание ПЭВ в ДИК области на границе Pt—воздух значительно меньше, чем затухание, вызванное пленкой, то оно приближенно может быть выражено [17] как

$$n_{\text{зпф}}^* \approx \frac{2\pi\nu d}{\sqrt{-\epsilon_{\text{Pt}}^*}} \left( 1 - \frac{1}{\epsilon_{\text{нн}}^*} - \frac{\epsilon_{\text{нн}}^*}{\epsilon_{\text{Пt}}^*} \right). \quad (8)$$

Согласно [20], удельное сопротивление Pt  $\rho$  от температуры понижается по линейному закону, поэтому, используя связь между  $\rho$  и  $\epsilon^*$  ( $\epsilon^* = \epsilon' - 4\pi i/\nu\rho$ ), из (8) легко можно учитывать добавку в зависимости  $L(T)$ , вносимую пленкой платины.

Таким образом, ПЭВ дальнего ИК диапазона оказались очень чувствительными к температурным изменениям диэлектрических свойств сегнетоэлектрических пленок твердых растворов  $\text{Ba}_x\text{Sr}_{1-x}\text{TiO}_3$ . В точке фазового перехода наблюдалось максимальное затухание ПЭВ, связанное с аномальным ростом диэлектрических потерь. Измерение температурных зависимостей длины пробега ПЭВ позволяет идентифицировать температуру фазового перехода в пленках, которая совпадает с результатами, полученными методом вторичной эмиссии электронов.

### Список литературы

- [1] Смоленский Г. А. Физика сегнетоэлектрических явлений. Л., 1985.
- [2] Spitzer W. G., Miller C. R., Kleinman D. A., Howarth L. E. // Phys. Rev. 1962. V. 126. N 5. P. 1710.
- [3] Rupprecht G., Bell R. O. // Phys. Rev. 1964. V. 135. N 3A. P. 748.
- [4] Волков А. А., Гончаров Ю. Г., Козлов Г. В. // ФТТ. 1986. Т. 28. № 7. С. 2104.
- [5] Ballantyne J. M. // Phys. Rev. 1964. V. 136. N 2A. P. 429.
- [6] Barker A. S. Jr. // Phys. Rev. 1966. V. 145. N 2. P. 391.
- [7] Luspin Y., Servoin J. L., Gervais F. // Phys. C.: Sol. St. Phys. 1980. V. 13. P. 3761.
- [8] Scalabrin A., Chaves A. S., Shim D. S., Porto S. P. // Phys. St. Sol. (b). 1977. V. 79. P. 731.
- [9] DiDomenico M., Wemple S. H., Porto S. P. S., Bauman R. P. // Phys. Rev. 1968. V. 174. N 2. P. 522.
- [10] Fleury P. A., Lazay P. D. // Phys. Rev. Lett. 1971. V. 26. N 21. P. 1331.
- [11] Vogt H., Sanjurjo J. A., Rossbroich G. // Phys. Rev. B. 1982. V. 26. N 10. P. 5904.
- [12] Laughman L., Davis L. N., Nakamura T. // Phys. Rev. B. 1972. V. 6. N 9. P. 3322.
- [13] Tominaga Y., Nakamura T. // Sol. St. Comm. 1974. V. 15. N 7. P. 1193.
- [14] Томашпольский Ю. Я. Пленочные сегнетоэлектрики. М., 1984.
- [15] Томашпольский Ю. Я., Севостьянов М. А., Колганова Н. В., Попов Ю. М. // ЖТФ. 1987. Т. 57. № 4. С. 829.
- [16] Ordal M. A., Bell R. J., Alexander R. W., Long L. L., Querry M. R. // Appl. Opt. 1985. V. 24. N 24. P. 4493.
- [17] Поверхностные поляритоны / Под ред. В. М. Аграновича. М., 1985.
- [18] Burns G., Burstein E. // Ferroelectrics. 1974. V. 7. P. 333—335.
- [19] Carr G. L., Perkovitz S., Tanner D. B. Infrared and millimeter waves / Ed. K. J. Button. N. Y., 1985. V. 13. P. 171.
- [20] Таблицы физических величин. Справочник / Под ред. И. К. Кикоина. М., 1976.